

p59~68

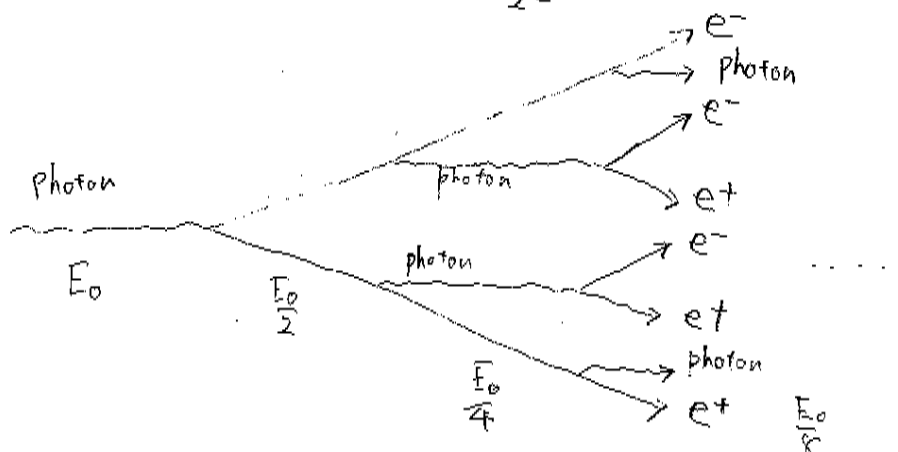
2.7.4 Electron-Photon Showers

高エネルギーの光子による対生成と電子(陽電子)による制動放射の繰り返しにより、電子と光子のシャワー(滝)ができる。簡単には

- ① 始め E_0 のエネルギーを持つ光子が(放射長進むと $\frac{E_0}{2}$ のエネルギーを持つ e^- と e^+ を対生成する)
- ② 2 放射長進むと e^- と e^+ からこれで再制動放射によって光子を出す
(これは 2つの光子と e^- と e^+ 1つずつの合計 4つの粒子があり、これら $\frac{E_0}{4}$ のエネルギーを持つ)
- ③ 3 放射長進むと 2つの光子から e^- と e^+ を対生成し、①で出来ていた e^- と e^+ は
制動放射によってまた 2つの光子を出す。
(これは、2つの光子と 3つずらの e^- と e^+ の合計 8つの粒子が $\frac{E_0}{8}$ のエネルギーを持ってる)
この過程を繰り返していくと、放射長進むと粒子の数 N と、粒子個々の持つエネルギー $E(t)$ はおおよそ

$$N \approx 2^t \quad (2.124) \quad E(t) \approx \frac{E_0}{2^t} \quad (2.125)$$

となる



ここで、この放射長は、エネルギーが $\frac{1}{2}$ になる長さではなく制動放射によって光子の持つエネルギーと電子(陽電子)のエネルギーと同じになる距離 d (対生成が起る長さと同じと/or)。電子を始めて持ってきててもおおよそ同じ過程

シャワーが増えなくなる臨界エネルギーを E_c とする

$$E(t_{\max}) = \frac{E_0}{2^{t_{\max}}} = E_c \quad (2.126)$$

よし

$$t_{\max} = \frac{\ln \frac{E_0}{E_c}}{\ln 2} \quad (2.127) \quad N_{\max} \approx \frac{E_0}{E_c}$$

※ 実際には制動放射によるエネルギー損失は大きな質量を持つために注意

放射長 λ のエネルギー損失 $\frac{dE}{dt}$ は Γ 関数によって近似され

$$\frac{dE}{dt} = E_0 b \frac{(bt)^{a-1} e^{-bt}}{\Gamma(a)} \quad (2.129)$$

(a, b は 物質に依存) とみなす。又 t_{\max} は

$$t_{\max} = (a-1)/b = 1.0 \times (\ln y + c_i), i = e, r \quad (2.130)$$

$$y = \frac{E}{E_c}, c_e = -0.5 \quad : \text{電子起因の場合} \quad c_r = +0.5 \quad : \text{光子起因の場合}$$

シャワーの粒子数が増えたつれて進行方向に対して横方向に広かりを持つようになる。
この広がりを表すものにモリエール半径 (Moliere radius) がある

$$R_M = L_{\text{rad}} \frac{E_s}{E_c} \quad (2.131)$$

$$E_s = m_e c^2 \sqrt{4\pi/\alpha} = 21.2 \text{ MeV}$$

L_{rad} は (2.84) の Bragg's rule によて計算される
放射長と同様にモリエール半径は物質に依存

始めは細かく、たしかにシャワーは進むにつれて中央に粒子が多くなる) 濃い核を作り端に行くにつれて薄くなるが、粒子の数が最大になるとあたりでは 90% の粒子が進行方向の軸から $2R_M$ の中にある。

横の広がりに対するエネルギー損失の大きさは、シャワーの進んだ深さに応じて

Fig. 2.28 (鉛に対する 1 GeV シャワー) のようになる。

このような進行方向と横方向についての詳細を知ることで粒子のエネルギーを測る検出器を設計できる。

c) 30 GeV のシャワーを測るには 20 放射長 又は 35cm の鉛が必要とか

2.7.5 The Total Absorption Coefficient and Photon Attenuation

光子の相互作用の全断面積は 1 原子ごとに

$$\sigma = \bar{\sigma}_{\text{photo}} + Z \sigma_c + \tau_{\text{pair}} \quad (2.132)$$

$\bar{\sigma}_{\text{photo}}$: 光電効果の断面積 σ_c : 2:7% 散乱の断面積 (1 電子あたり)

τ_{pair} : 対生成の断面積

σ に原子の数密度 N をかけると

$$\mu = N\sigma = \sigma (N_A \rho / A) \quad (2.133)$$

N_A : ノルム子数 ρ : 密度 A : 分子量

これを 全吸收係数といふ 平均自由行程の逆数

反応後の光子の強度:

$$I/I_0 = \exp(-\mu x). \quad (2.134)$$

I_0 : 入射強度 x : 光子の進んだ距離

化合物や複合物の場合 Bragg's rule によって求められる。

$$\frac{M}{P} = w_1 \frac{M_1}{P_1} + w_2 \frac{M_2}{P_2} + \dots \quad (2.135)$$

w_i は化合物の 1 モル中の原子の重量分率

2.8 The Interaction of Neutrons

中性子は電荷は持たないが、原子核から 10^{-15} cm ほどで強く相互作用する。そのため中性子は非常に透過力が強い。

中性子の相互作用

1) 原子核との弾性散乱 $A(n, n)A$

数 MeV 程度の中性子は主に弾性散乱でエネルギーを損失

2) 原子核との非弾性散乱 $A(n, \gamma)A^*$, $A(n, 2\gamma)B$ など

原子核が励起されると線状 γ を放射して崩壊する。

原子核の励起エネルギー以上が必要で $10^{-10} \sim 10^{-11}$ MeV 以上。

3) 放射性 中性子捕獲 $n + (Z, A) \rightarrow \gamma + (Z, A+1)$

断面積は $1/n$ 程度 v は中性子の速度

ターゲットの物質の $1/n$ の γ -線に共振 γ -線は重なる。

→ 低エネルギーの中性子で起る。

4) その他の核反応

(n, p) , (n, d) , (n, α) , (n, t) , (n, dp) など

中性子が捕獲され、他の粒子が放出される。

放射性 中性子捕獲と同様に断面積は $1/n$ 程度

ターゲットの物質に共振は依存

$eV \sim keV$ で主に起る。

5) 核分裂 (n, f)

熱エネルギー程度を持つとえたときに起ります。

6) 高エネルギー ハドロンシグマ生成

100 MeV 以上の 高エネルギーをもつてきのみ 起こる

• エネルギーによる中性子の分類

・ 热エネルギー 中性子	100 MeV 程度
・ 高速中性子	数百 keV ~ 数十 MeV
・ 热外中性子	0.1 eV ~ 100 keV
・ 热中性子 (低速中性子)	室温程度 $E \ll kT \approx 140 \text{ eV}$
・ 冷中性子	meV 程度
・ 超冷中性子	μeV 程度

中性子の 全反応断面積

$$\sigma_{\text{tot}} = \sigma_{\text{elastic}} + \sigma_{\text{inelastic}} = \sigma_{\text{capture}} + \dots$$

1)~6) の各断面積の和

(2.136)

σ_{tot} に 原子の 敷密度をかけたのが 平均自由行程の逆数

$$\frac{1}{\lambda} = N \sigma_{\text{tot}} = \frac{N_a e}{A} \sigma_{\text{tot}} \quad (2.137)$$

反応後の 中性子の 強度:

$$N = N_0 \exp(-\lambda / z) \quad (2.138)$$

2.8.1 Slowing Down of Neutron . Moderation

高速中性子は 弹性散乱などで エネルギーを失っていき、最終的に 中性子捕獲や 核分裂を起します。

弾性散乱は、高速中性子の 主要な エネルギー損失であり 数 MeV の範囲では 非相対論的に扱える。(2.139)~(2.147)

(2.143)式

$$\frac{E}{E_0} = \left(\frac{V_{lab}}{V_0} \right)^2 = \frac{A^2 + 1 + 2 A C \alpha \beta \alpha}{(A+1)^2} \quad (2.143)$$

かく

散乱された 中性子の 持つ エネルギーは $-1 < \cos \theta_m < 1$ から

$$\left(\frac{A-1}{A+1} \right)^2 E_0 < E < E_0. \quad (2.148)$$

陽子との散乱の場合 $A=1$ のとき

$$0 < E < E_0$$

軽い原子核との散乱では原子核の反跳エネルギーは大きくなれる

→ 滅菌材や遮蔽材には水素を含む水やメタノン(CH_4)が適する。

・散乱後のエネルギーの散乱確率の変化量

15 MeV 以下の中性子の場合 S波散乱のみなので
等方的

散乱1回 (導出は (2.149), (2.151) 式から)

$$\frac{dW_1}{dE} = \frac{(A+1)^2}{4A} \frac{1}{E_0} = \frac{1}{E_0(1-\alpha)} \quad (2.151)$$

$$dW_1 = \frac{d\Omega}{4\pi}, \quad \alpha = \left(\frac{A-1}{A+1}\right)^2$$

2回以上は散乱後にエネルギーの制限 (2.148) によって代数的に複雑化する

2回 (2.152) 式 3回 (2.153) 式

水素との散乱の場合は $\alpha=0$ で単純化される。

n回散乱

$$\frac{dW_n}{dE} = \frac{1}{E_0(n-1)!} \left(\ln \frac{E_0}{E}\right)^{n-1} \quad (2.154)$$

• E_0 のエネルギーを持つ中性子が E まで減速されるのに必要な散乱回数 n

$$n = \frac{u}{\xi} = \frac{1}{\xi} \ln \frac{E_0}{E} \quad (2.155)$$

$$\begin{cases} u(O) = \ln E_0 - \ln E' = \ln \frac{E_0}{E} = \ln \frac{(A+1)^2}{A^2 + 2A\alpha_0} \\ \xi = \langle u(O) \rangle = \int u(O) \frac{d\Omega}{4\pi} = 1 + \frac{(A-1)^2}{2A} \ln \frac{A-1}{A+1} \end{cases} \quad (2.155), (2.156)$$

$$\begin{cases} u(O) = \ln E_0 - \ln E' = \ln \frac{E_0}{E} = \ln \frac{(A+1)^2}{A^2 + 2A\alpha_0} \\ \xi = \langle u(O) \rangle = \int u(O) \frac{d\Omega}{4\pi} = 1 + \frac{(A-1)^2}{2A} \ln \frac{A-1}{A+1} \end{cases} \quad (2.157)$$

$u(O)$ 入射エネルギーを基準にしたエネルギーの単位

$$\text{C}^{12} \text{ と } \xi = 0.158 \quad \text{H}^1 \text{ と } \xi = 1$$

1 MeV の中性子が室温 ($1/40 \text{ MeV}$) まで減速するのに

$$\text{C}^{12} \approx 14 \text{ 回} \quad \text{H}^1 \approx 17.5 \text{ 回} \quad \text{必要}$$